

УДК 621.317.37

ИССЛЕДОВАНИЕ ИЗЛУЧЕНИЯ ВОЛН ИЗ КВАЗИОПТИЧЕСКИХ РЕЗОНАТОРОВ. II

*А. А. Вертий, И. В. Иванченко, Н. А. Попенко,
Ю. П. Попков, В. П. Шестопалов*

Исследуется пространственная структура дифракционного поля полусимметричного открытого резонатора, образованного круглыми зеркалами, возбужденного на колебаниях типа TEM_{0nq} . Показано, что при возмущении дифракционного поля резонатора внешней аксиально-симметричной неоднородностью изменяется его амплитудное распределение и поляризационная структура ближнего поля.

В работах [1, 2] показано, что для открытых резонаторов (ОР), у которых параметр $ka \sim 30 \div 40$ (где $k = 2\pi/\lambda$, λ — длина волны, a — радиус апертуры зеркала), формирование резонансных колебаний сопровождается излучением во внешнее пространство. При этом, в отличие от оптических аналогов, в данном случае интенсивность расходящихся волн достаточно высока. Именно из-за этого следует отнести ОР к классу остронаправленных резонансных антенн. С другой стороны, в миллиметровом диапазоне длин волн ОР оказывается наиболее оптимальной ячейкой вакуумных и твердотельных генераторов [3, 4], магнитных радиоспектрометров [5], дефектоскопов и т. д. Однако для эффективного использования резонатора в указанных выше устройствах необходимо учитывать характеристики пространственного распределения поля как внутри резонатора, так и вне его, с тем, чтобы управлять ими для обеспечения оптимальных условий работы прибора. В частности, исследование дифракционных полей ОР приобретает особое значение при построении приборов с квазиоптическим выводом энергии, а также в тех случаях, когда ОР располагается в том или ином замкнутом объеме. Например, в полости сверхпроводящего соленоида в квазиоптических радиоспектрометрах, в вакуумированном корпусе генератора и т. д.

Целью настоящей работы является экспериментальное исследование пространственной структуры дифракционных полей многомодового ОР с круглыми зеркалами при размещении во внешнем резонансном поле аксиально-симметричных неоднородностей.

Экспериментальные результаты. В работе измерены диаграммы направленности (ДН) ОР на основной (т. е. совпадающей с поляризацией возбуждающего поля) и ортогональной поляризациях, амплитудные распределения поля и состояния поляризации ближнего поля ОР за плоским зеркалом. Во всех измерениях возбуждение ОР осуществлялось полем линейной поляризации через элемент связи в центре сферического зеркала (вектор E возбуждающего поля ориентирован вдоль оси OX). Как известно, в спектре ОР при $ka \sim 30 \div 40$ наряду с основным типом колебания TEM_{00q} присутствуют также высшие типы колебаний TEM_{mnq} . Ранее [2] нами достаточно подробно были проанализированы дифракционные поля

ОР при работе его на TEM_{00q} . Поэтому здесь мы остановимся на изучении особенностей пространственной структуры внешних полей ОР, возбуждаемого на высших типах колебаний — TEM_{0nq} .

В работе [6] решена векторная задача о нахождении собственных функций и собственных значений ОР и показано, что при малых радиусах кривизны зеркал волновой гауссов пучок описывается шестью компонентами вектора электромагнитного поля $E_x, E_y, E_z, H_x, H_y, H_z$. Другими словами, независимо от способа возбуждения ОР в нем существует резонансное электромагнитное поле со своим амплитудно-фазовым распределением на двух ортогональных поляризациях. Таким образом, структура дифракционного поля резонатора на ортогональной поляризации определяется излучением краевой волны (от неравномерной части тока) и рассеянием ортогональной компоненты резонансного поля. Рассмотрим детально эти два механизма формирования структуры внешнего поля.

Для колебания TEM_{00q} , возбуждаемого в ОР с параметрами $a_{\text{сф}} = 40 \text{ мм}$, $R_{\text{кр}} = 180 \text{ мм}$, $a = 30 \text{ мм}$, $\lambda = 4 \text{ мм}$, величина собственной кросскомпоненты внутреннего резонансного поля мала ($E_y/E_x = -40 \text{ dB}$) и состояние поляризации поля по сечению волнового пучка можно считать достаточно однородным. Для высших типов колебаний собственная кросскомпонента во внутреннем поле имеет существенную величину ($E_y/E_x = -17 \text{ dB}$). В связи с этим нами были измерены распределения внутренних резонансных полей высших типов колебаний на кросскомпоненте.

Регистрация амплитудного распределения внутреннего резонансного поля с ортогональной поляризацией осуществлялась путем протяжки в объеме ОР электрического диполя, ориентированного перпендикулярно вектору E возбуждающего поля. Поле, рассеянное диполем,

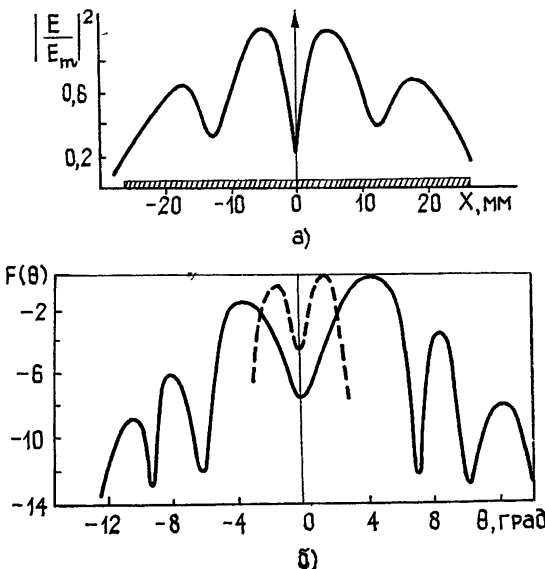


Рис. 1. Распределение резонансного поля полусимметричного ОР для колебания TEM_{02q} на кросскомпоненте:

а) поле внутри ОР; б) диаграмма направлениности за плоским зеркалом.

принимается рупорной антенной с линейной поляризацией, расположенной вне объема резонатора. При этом расстояние между рупором и диполем остается постоянным в процессе перемещения. В частности,

как видно из рис. 1а, распределение внутреннего резонансного поля на кросскомпоненте для колебания TEM_{02q} вдоль оси OX в сечении XOY при $OZ=\text{const}$ имеет сложный характер: в центре резонатора наблюдается минимум амплитуды поля, а на краю зеркала—это относительно большая величина. Наличие собственной кросскомпоненты резонансного пучка приводит к увеличению относительного уровня кросскомпоненты в дифракционном поле резонатора ($E_y/E_x = -20 \text{ dB}$). Кроме того, увеличивается количество и уровень боковых лепестков, а ДН расширяется (рис. 1б, сплошная линия).

С целью выделения вклада в дифракционное поле (вносимого в ДН на кросскомпоненте) рассеянной ортогональной компоненты резонансного пучка было осуществлено ее подавление с помощью поляризационного элемента в виде проволочной дифракционной решетки. Решетка размещалась в объеме ОР, перпендикулярно его оси (в плоскости XOY), вблизи плоского зеркала, а ее образующие ориентировались перпендикулярно компоненте E_x резонансного поля. С помощью данного поляризатора удалось уменьшить уровень собственной кросскомпоненты резонансного волнового пучка для TEM_{02q} до -30 dB . В этом случае ДН имеет два лепестка, которые направлены под углами $\pm 1^{\circ}5$ к оси ОР (рис. 1б, пунктир). При этом относительная величина кросскомпоненты поля в максимуме ДН уменьшилась ($E_y/E_x = -26 \text{ dB}$). Такое уменьшение величины кросскомпоненты в максимуме дифракционного поля на 6 dB при уменьшении абсолютного значения собственной кросскомпоненты пучка на 13 dB свидетельствует о существенной величине поля краевых волн, возбуждаемых при дифракции поля колебания TEM_{02q} на зеркале ОР. Следовательно, в общем случае дифракционное поле на ортогональной компоненте представляет собой суперпозицию полей краевых волн от неравномерной части тока и кроссполяризованной компоненты резонансного пучка, причем для колебаний типа TEM_{0nq} эти величины одного порядка.

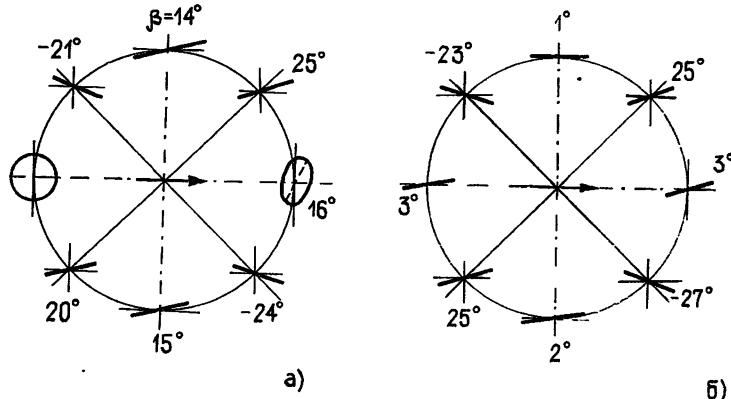


Рис. 2. Поляризационная структура дифракционного поля по периметру плоского зеркала ОР для колебания TEM_{02q} :
а) полусимметричный ОР; б) в объеме полусимметричного ОР размещена дифракционная решетка.

Сказанное выше наглядно иллюстрируется поляризационной структурой поля по апертуре зеркала в двух случаях: когда в резонансном волновом пучке присутствуют все шесть компонент электромагнитного поля и когда преимущественной является E_x -компоненты электромагнитного поля (рис. 2). Измерения поляризации проводились с помощью открытого конца волновода, установленного на буссоли. Отметим, что в диаметрально противоположных областях диска

(вдоль диаметра, параллельного H) поле имеет эллиптическую поляризацию, близкую к круговой (рис. 2, слева). Здесь, по-видимому, происходит сложение краевых волн и собственного резонансного поля на ортогональной поляризации со сравнимыми амплитудами и сдвигом фазы $\Delta\Psi \approx \pi/2$. При подавлении собственного резонансного поля на кросскомпоненте с помощью решетки в этих точках поле становится линейно поляризованным (рис. 2, справа). Отметим, что максимальный поворот плоскости поляризации относительно компоненты E_x зарегистрирован в диаметрально противоположных участках диска, ориентированных под углами $\pm 45^\circ$, что говорит о максимальной величине поля краевых волн в этих областях.

ДН ОР на основной поляризации для аксиально-симметричных типов колебаний TEM_{0nq} по своей структуре схожа с ДН ОР для колебания TEM_{00q} : максимум излучения наблюдается вдоль оси OZ резонатора, а амплитуда первых боковых лепестков плавно спадает при удалении от оси (рис. 3). Однако за счет более сложного амплитудно-фазового распределения высших типов колебаний на зеркалах ОР в ДН наблюдается увеличение уровня боковых лепестков по сравнению с ДН для колебания TEM_{00q} (рис. 3а, пунктир), а также расширение интервала углов, где сосредоточено резонансное излучение. Например, для колебания TEM_{01q} этот интервал составляет $\pm 12^\circ$ (см. рис. 3а, сплошная линия). При больших углах кроме резонансного излучения наблюдается нерезонансное, связанное с прямым высвечиванием поля из ОР. Большая амплитуда поля на краю зеркала для высших типов колебаний приводит к существенному вкладу в ДН краевых волн на основной и кросскомпонентах, а следовательно, к общему увеличению интенсивности дифракционного поля ОР. В диф-

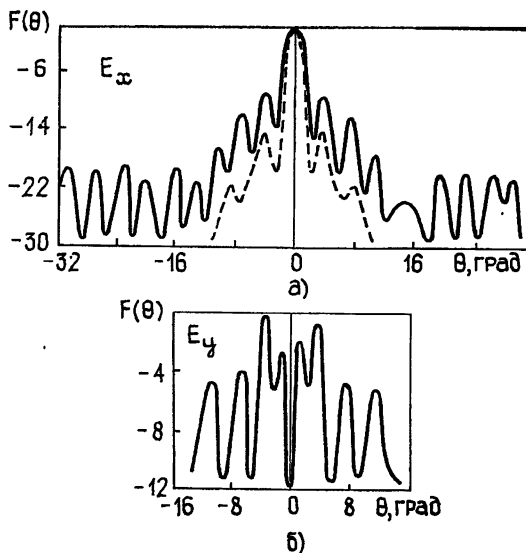


Рис. 3 Диаграммы направленности полусимметричного ОР для колебания TEM_{01q} :
а) поле на основной компоненте; б) поле на кросскомпоненте

ракционном поле на кросскомпоненте в осевой области величина излучения минимальна (рис. 3б), а ДН имеет более сложный характер по сравнению с кросскомпонентой рассеянного поля на основном типе колебания по причинам, рассмотренным выше.

Ранее было показано, что в отсутствие внутреннего резонансного поля на кросскомпоненте в ближнем дифракционном поле ОР наблю-

дается поворот плоскости поляризации у края зеркала в диаметрально противоположных областях диска в соответствии с характером распределения поля краевых волн с ортогональной поляризацией. Причем амплитуда поля резонансного волнового пучка на краю зеркала является функцией отношения W_0/a (где W_0 — радиус волнового пучка).

Например, при фиксированном расстоянии между зеркалами ОР уменьшение апертуры одного из зеркал приведет к вращению плоскости поляризации в этих областях ближнего дифракционного поля. Результаты эксперимента показали, что с ростом параметра W_0/a ($W_0 = \text{const}$, a — уменьшается) увеличивается угол поворота плоскости поляризации β в области краев зеркал, причем максимальное значение угла β наблюдается в диаметрально противоположных точках, расположенных под углами $\pm 45^\circ$ к вектору E возбуждающего поля (рис. 4, кривая 2), где амплитуда дифракционного поля на кросскомпоненте максимальна. В точках, лежащих вблизи координатных осей заданной системы координат, относительная величина поля на ортогональной компоненте меньше. Это иллюстрируется зависимостью $\beta = f(W_0/a)$ (см. рис. 4, кривая 1). При этом следует отметить, что поляризация расходящегося волнового пучка во всех точках у края зеркала остается линейной для основного типа колебания (рис. 5а).

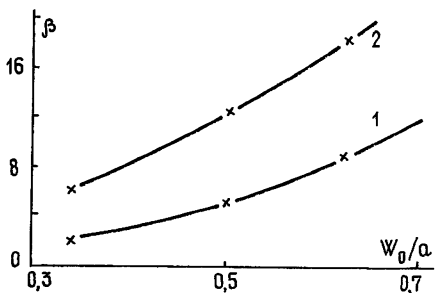


Рис. 4 Зависимость угла вращения плоскости поляризации β в ближнем дифракционном поле от радиуса плоского зеркала ОР;
1 — $\{x, 0\}$, 2 — $\{x, y\}$.

Таким образом, приведенные выше результаты показывают, что в ОР при $ka \sim 30 \div 40$ во внешнем пространстве за зеркалами резона-

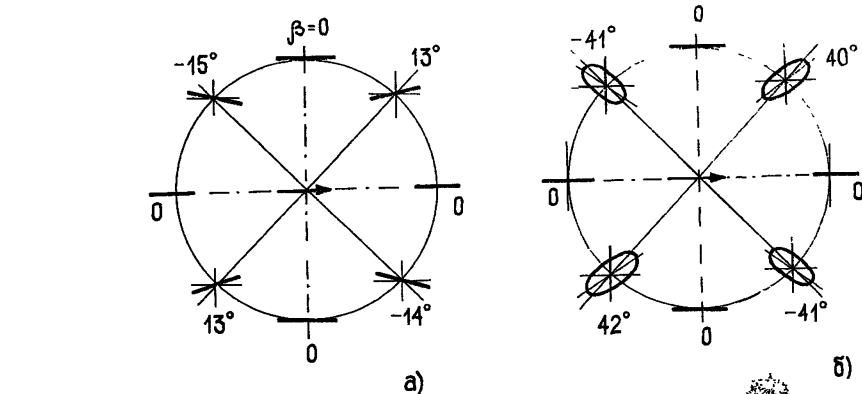


Рис. 5. Поляризационная структура дифракционного поля по периметру плоского зеркала ОР:
а) полусимметричный ОР; б) ОР в экране ($r/a=1,05$), где r — радиус цилиндра.

тора присутствует интенсивное поле, характеристики которого однозначно определяются параметрами резонансной системы ka , W_0/a и типом резонансного колебания.

Поэтому при создании квазиоптических систем на основе ОР необходимо учитывать наличие интенсивного резонансного расходящегося поля. Расположение внешних неоднородностей вблизи указанных областей у зеркал резонатора приводит к изменению как спект-

ральных характеристик приборов [7], так и структуры дифракционного поля. На изучении последнего мы и остановимся в данной работе более подробно ввиду важности этого вопроса при создании целого ряда приборов на базе ОР с квазиоптическим выводом энергии [8].

Рассмотрим ОР в цилиндрическом экране, расположеннном соосно с резонатором. Наглядное представление о влиянии цилиндрических

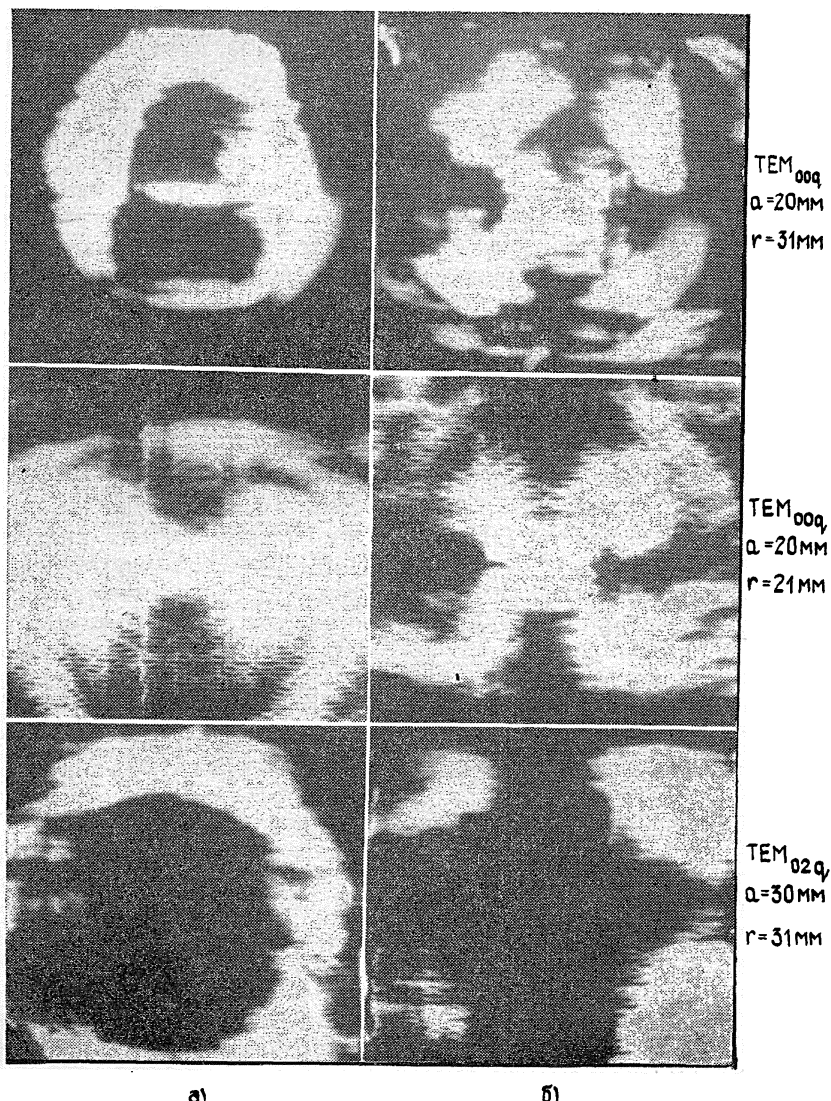


Рис. 6. Распределения ближних дифракционных полей за плоским зеркалом по-
лусимметричного ОР в экране:
а) на основной компоненте; б) на кросскомпоненте.

оболочек на структуру ближних дифракционных полей дают яркостные изображения этих полей, полученные методом визуализации (рис. 6).

Отметим некоторые общие закономерности в распределениях дифракционных полей на обеих компонентах.

1) Пространственные ориентации осей симметрии для основной и ортогональной компонент поля различны: они развернуты друг от-

носительно друга на 45° (рис. 6а, б), что следует из рассмотрения структуры поля краевых волн.

2) Для основной компоненты оси симметрии в распределении дифракционного поля совпадают с координатными осями системы.

3) При большом отношении r/a (рис. 6а, $a=20\text{ мм}$, $r=31\text{ мм}$) распределение ближнего поля мало отличается от аналогичной картины для ОР без цилиндра: наблюдается лишь некоторое увеличение амплитуды поля на периферии системы.

4) При уменьшении радиуса цилиндра (рис. 6а, $a=20\text{ мм}$, $r=21\text{ мм}$) преимущественный вклад в дифракционное поле дает кольцевая излучающая щель между корпусом и кромкой зеркала. Возбуждение ОР полем с линейной поляризацией E_x объясняет снижение порядка симметрии системы: ось симметрии в данном случае совпадает с осью OX системы координат. Увеличение апертуры зеркала при сохранении того же отношения r/a (рис. 6а, $a=30\text{ мм}$, $r=31\text{ мм}$) приводит к существенному изменению структуры ближнего поля в фиксированной плоскости $z = \text{const}$ и для высших типов колебаний, так как здесь все большая часть плоскости регистрации попадает в область геометрической тени. Величина поля в области кольцевой щели, образованной кромкой зеркала и внутренней поверхностью цилиндра, по крайней мере на 8 dB больше интенсивности ближнего поля в центральной области зеркала.

Выше мы показали, что для краевых волн с ортогональной поляризацией максимумы интенсивности расположены вдоль осей, ориентированных под углом 45° к E_x -компоненте вектора возбуждающего поля. Поэтому размещение ОР в цилиндрическом экране приводит к возбуждению краевых волн, наведенных токами на цилиндре, направление и интенсивность которых будут определяться распределением токов по апертуре зеркала ОР. В силу этого даже при большом отношении r/a (рис. 6б, $a=20\text{ мм}$, $r=31\text{ мм}$) наблюдается некоторая концентрация дифракционного поля в зазоре цилиндр — зеркало. При уменьшении зазора картина дифракции становится более четкой (рис. 6б, $a=20\text{ мм}$, $r=21\text{ мм}$).

Рассмотрим поведение поляризационной структуры ближнего поля ОР в цилиндрическом экране. Как видно из рис. 5б, в областях, соответствующих точкам на координатных осях, во всех случаях поле остается линейно поляризованным, сохраняя поляризацию возбуждающего поля. В диагональных точках, за счет возрастания общего уровня кроссполяризованного поля, в соответствии с распределением поля на кросскомпоненте в резонансном пучке, наблюдается увеличение угла поворота плоскости поляризации. Наличие в этих точках эллиптичности обусловлено сдвигом фазы между краевыми волнами, излучаемыми кромкой зеркала, и краем цилиндра. Величина этой эллиптичности определяется зазором между последними. Таким образом, очевидно, что правильный учет изменения поляризационных характеристик дифракционного поля ОР в экранирующем цилиндре в ряде случаев необходим при создании генераторов, поляриметров, радиоспектрометров и других приборов и устройств, в которых в качестве базовых устройств используются квазиоптические ОР.

Появление неоднородности во внешнем резонансном поле ОР соответствующим образом сказывается на структуре ДН. Однако при этом сохраняется общий характер излучения в направлении оси резонатора: максимум излучения — для основной компоненты электромагнитного поля и минимум — для кросскомпоненты (рис. 7). Поскольку при малой величине отношения $(r-a)/\lambda$ пространственная структура «затекающих» токов усложняется с одновременным увеличением их интенсивности (рис. 6), то в дальней зоне наблюдается значительное

увеличение относительного уровня бокового излучения (примерно на 8 дБ), а также расширение ДН на кросскомпоненте. В [8] указывается, что сгущение спектра колебаний ОР, помещенного в цилиндрическую оболочку, обусловлено волнами, излучаемыми элементами связи. Таким образом, происходит возбуждение многомодового цилиндрического резонатора и высвечивание этого нерезонансного фона через кольцевую щель между кромкой зеркала ОР и экраном. Поэтому в ДН, начиная с углов $\pm 8^\circ$ и далее, значительный вклад дает поле источника возбуждения. Регистрация ДН в динамическом режиме работы СВЧ генератора позволяет определить, резонансное или нерезонансное излучение является доминирующим в данном лепестке ДН. Так, в ДН для основной компоненты поля (рис. 7а—сплошная линия) во втором боковом лепестке уровень нерезонансного сигнала состав-

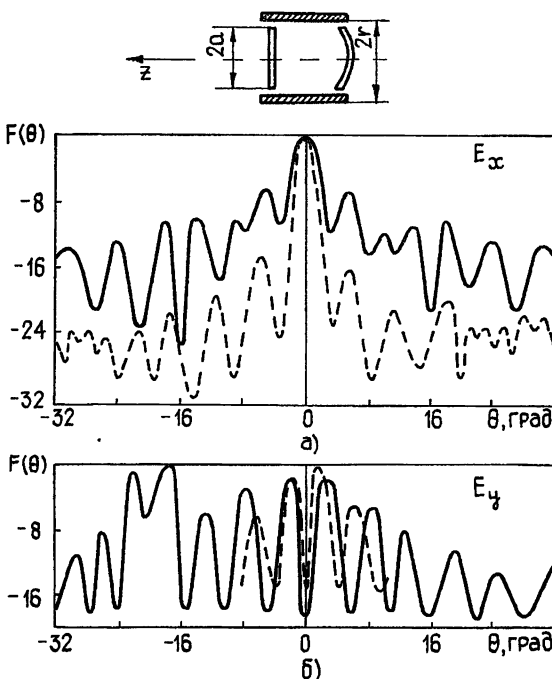


Рис. 7. Диаграмма направленности полусимметричного ОР в экране ($r/a=1,05$) для колебания TEM_{00q} .

ляет 4 дБ, а крайние боковые лепестки формируются, в основном, за счет поля источника возбуждения. При увеличении радиуса цилиндра уровень этих лепестков понижается. В ДН на кросскомпоненте излучение нерезонансного фона определяется наличием эффекта деполяризации поля источника возбуждения на цилиндрической поверхности. В отсутствие внешнего экрана поле в дальней зоне формируется только за счет дифракции резонансного волнового пучка на зеркале ОР. Этим и обусловлены различия в ДН на кросскомпоненте для ОР (см. рис. 7б—пунктир) и ОР в цилиндре (рис. 7б—сплошная кривая).

В данной работе проведены исследования дифракционных полей многомодового ОР с аксиально-симметричной внешней неоднородностью при изменении таких характеристик резонансной системы, как тип колебания, возбуждаемого в резонансном объеме, радиус апертуры зеркала, радиус внешнего экрана. Полученные результаты позволяют сделать следующие выводы:

- 1) В дифракционном поле ОР с круглыми зеркалами присутствуют волны двух ортогональных поляризаций. Для колебаний типа TEM_{00q}

собственная кросскомпонента резонансного пучка дает существенный вклад в ДН: увеличивается общий уровень излучения, увеличивается количество боковых лепестков, изменяется поляризационная структура ближнего дифракционного поля.

2) Присутствие внешних неоднородностей вблизи зеркал ОР приводит к изменению структуры дифракционного поля на двух ортогональных компонентах как в ближней, так и в дальней зонах. Увеличивается общий уровень дифракционного поля, а также вклад в него волн нерезонансного фона, определяемого источником возбуждения. При этом характер изменения дифракционных полей определяется не только величиной зазора между корпусом и зеркалом, но и параметром $k a$ данного резонатора.

ЛИТЕРАТУРА

1. Вертий А. А., Попенко Н. А., Попков Ю. П. Препринт ИРЭ АН УССР № 176. — Харьков, 1981. — 36с.
2. Вертий А. А., Иванченко И. В., Попенко Н. А., Попков Ю. П., Шестопалов В. П. — Изв. вузов — Радиофизика, 1984, 27, № 12, с. 1536.
3. Шестопалов В. П. Дифракционная электроника. — Харьков: Вища школа, 1976.—231с.
4. Вертий А. А., Коцергинский Б. А., Першин Н. А., Попенко Н. А., Тараненко В. П., Шестопалов В. П. — Изв. вузов — Радиоэлектроника, 1981, 24, с. 78.
5. Вертий А. А., Деркач В. Н., Попков Ю. П., Шестопалов В. П. — ПТЭ, 1983, № 1, с. 127.
6. Андрюсов В. П., Вертий А. А. — УФЖ, 1982, 27, № 9, с. 1290.
7. Вертий А. А., Деркач В. Н., Попенко Н. А., Шестопалов В. П. — УФЖ, 1978, 23, № 10, с. 1666.
8. Вертий А. А., Деркач В. Н., Попенко Н. А., Шестопалов В. П. — ДАН УССР, сер. А, 1976, № 4, с. 356.

Институт радиофизики и электроники
АН УССР

Поступила в редакцию
25 ноября 1983 г.

INVESTIGATION OF WAVE RADIATION FROM QUASI-OPTICAL RESONATORS. II.

*A. A. Vertij, I. V. Ivanchenko, N. A. Popenko, Yu. P. Popkov,
V. P. Shestopalov*

The diffraction field space structure of a semisymmetrical open resonator formed by round mirrors and excited by TEM_{0nq} oscillations is investigated. It is shown that when the resonator diffraction field is perturbated by external axially-symmetrical inhomogeneity, its amplitude distribution and polarization structure of the near field are changed.